

Projet Capteur Actionneur

- Thomas FARINEAU
- Léo KITABDJIAN

Table des matières

Description

- Contexte
- Choix des sujets
- Données du réseau de neurones
- Objectifs

Organisation

Modèle de réseau de neurones convolutif

Résultats

Utilisation de la carte

- Consommation d'énergie
- Mémoire
- Latence

Conclusion

Description

Contexte

Nous avons choisi de nous lancer dans l'identification des chants de diverses espèces d'oiseaux. Pour cela, nous utilisons la base de données Xeno-canto, abordée lors de nos cours, qui contient un grand nombre d'enregistrements d'oiseaux variés. Ce projet est d'autant plus pertinent que notre établissement est situé près du parc naturel des Préalpes, où de nombreuses espèces d'oiseaux transitent et sont souvent difficiles à reconnaître.

Choix des sujets

En ce qui concerne notre sélection d'espèces, nous avons décidé d'examiner les enregistrements disponibles dans un rayon d'environ 30 km autour de l'école et de retenir les espèces les plus courantes. Nous avons identifié 137 enregistrements de 43 espèces différentes et allons nous concentrer sur les 3 espèces suivantes :

- Sterne pierregarin · *Sterna hirundo* (691 enregistrements)
- **Pinson des arbres · *Fringilla coelebs* (6049 enregistrements)**
- Fauvette à tête noire · *Sylvia atricapilla* (4496 enregistrements)

Avec donc comme espèce principale le pinson des arbres, qui est l'espèce la plus courante autour de Valbonne, et deux autres espèces qui sont assez différentes du pinson des arbres, mais qui sont également assez courantes dans la région.

Nous avons choisi de privilégier une espèce principale pour optimiser nos efforts, améliorer la précision de l'identification, accentuer la pertinence régionale, renforcer le potentiel éducatif et développer des méthodologies spécifiques, applicables ultérieurement à d'autres espèces.

Données du réseau de neurones

Pour chaque espèce, nous collectons 200 enregistrements (300 pour l'espèce principale) de différentes durées que nous segmentons toutes les trois secondes en format WAV, afin de normaliser au maximum les données

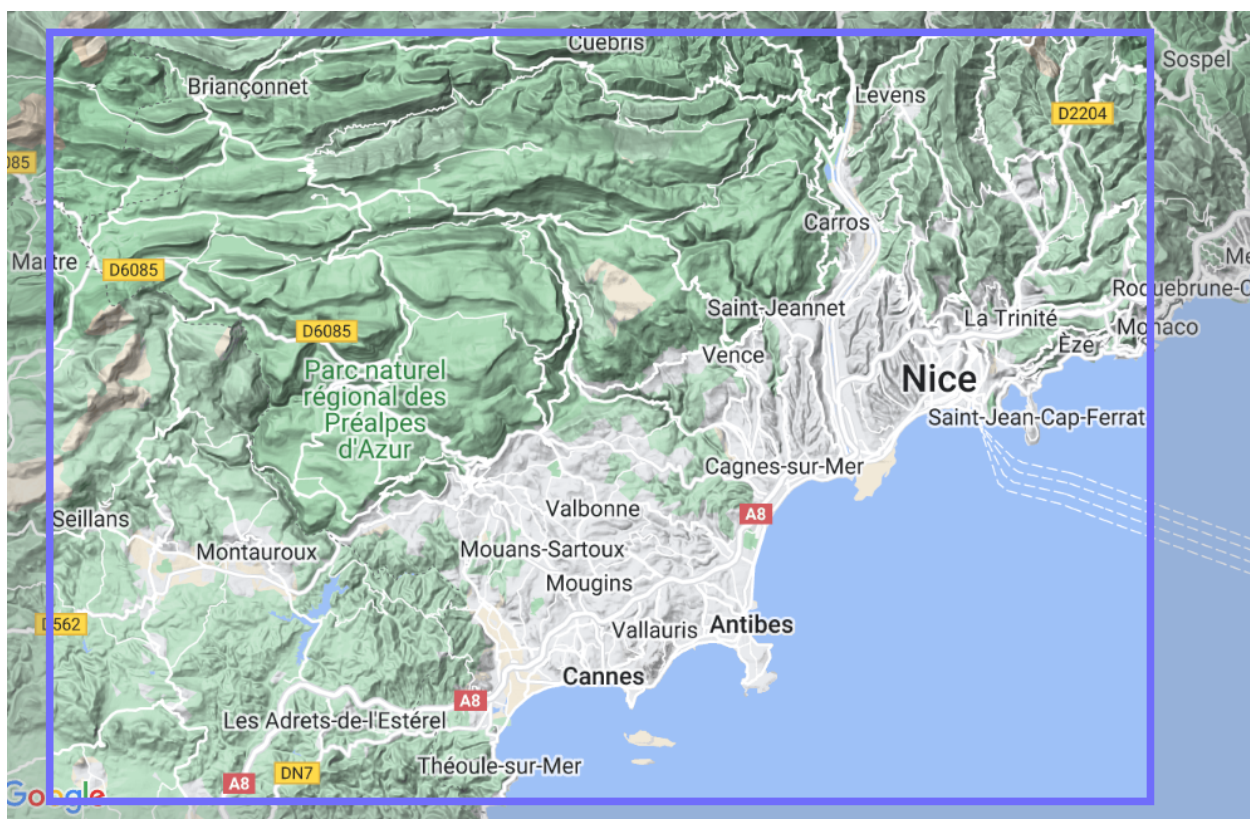


Figure 1: Section de la region étudié

utilisées dans le réseau de neurones. Par la suite, nous avons réparti le nombre d'enregistrements de chaque espèce en séparant la base d'apprentissage de la base de tests. Ainsi, environ 70 % des données sont dédiées à l'apprentissage et environ 30 % aux tests.

Objectifs

Les objectifs de ce projet incluent l'identification des chants de diverses espèces d'oiseaux, en mettant l'accent sur le pinson des arbres, grâce à l'utilisation de capteurs et d'intelligence artificielle basée sur des réseaux de neurones. Le projet vise également à exploiter la base de données Xeno-canto pour entraîner et tester l'IA en segmentant et normalisant les enregistrements. En outre, il a pour but de renforcer la compréhension de la biodiversité locale et de sensibiliser le public à l'importance des oiseaux du parc naturel des Préalpes. Finalement, le projet ambitionne de développer des méthodologies d'identification automatique des espèces d'oiseaux qui pourront être appliquées à d'autres espèces à l'avenir.

Organisation

Nous avons décidé d'utiliser notre ordinateur pour exécuter le code. Il était également possible d'opter pour Google Colab, mais cela aurait nécessité l'utilisation d'un fichier .ipynb (notebook), et nous préférons travailler avec des fichiers .py pour plus de simplicité, notamment afin de tout lancer en une seule commande.

Pour commencer, nous avons créé le fichier `downloader.py` qui permet de télécharger tous les fichiers audio. Ensuite, nous avons créé le fichier `audio.py`, qui permet de segmenter les fichiers audio en plusieurs extraits de trois secondes et de normaliser ces données. Puis, nous avons créé le fichier `training.py` pour entraîner notre réseau de neurones.

Suite à cela, nous avons élaboré un fichier `main.py` afin de tout lancer en une seule commande. Une fois le fichier `main.py` exécuté, il télécharge les fichiers audio, les segmente, les normalise et entraîne finalement le réseau de neurones, créant ainsi un fichier .h5 contenant le modèle entraîné.

Après avoir testé notre modèle sur notre ordinateur, nous l'avons transféré sur la carte Nucleo-64 STM32L476. Ainsi, nous avons enregistré notre modèle pour pouvoir le récupérer ultérieurement si nécessaire, avant de le convertir en code C, de le compiler et de le déployer à l'aide du logiciel Arduino IDE sur la carte.

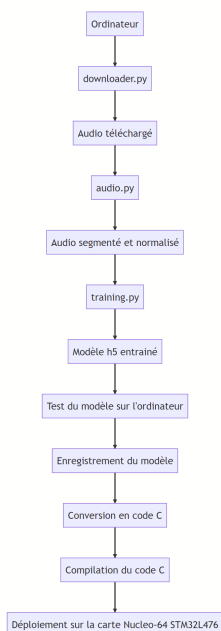


Figure 2: Diagramme de notre organisation

Modèle de réseau de neurones convolutif

Le réseau 1D-CNN est adapté pour traiter les signaux audio des bruits d'oiseaux grâce à ses couches convolutives qui extraient des caractéristiques hiérarchiques et locales. La réduction de dimensionnalité préserve les informations importantes tout en accélérant l'analyse et le modèle est facilement modifiable pour s'adapter dans diverses situations. La fonction d'activation ReLU évite le problème de disparition du gradient et accélère la convergence, tandis que la couche dense et l'activation softmax permettent une classification en plusieurs catégories pour identifier différentes espèces d'oiseaux. Enfin, l'optimiseur Adam assure une convergence rapide et des performances élevées en ajustant les taux d'apprentissage, faisant de ce 1D-CNN un choix intéressant pour détecter les bruits d'oiseaux en raison de sa capacité à traiter, extraire et classer les signaux audio.

L'objectif était de mettre en œuvre une version considérablement simplifiée du M5 présenté dans le TD5, qui est très performant, mais trop gourmand en ressources pour être utilisé sur un appareil compact comme la carte que nous utilisons.

Total params: 2,395
Trainable params: 2,395
Non-trainable params: 0

Résultats

```
Epoch 1/5
36/36 [=====] - 4s 68ms/step - loss: 0.9472 - categorical_accuracy: 0.5590 - v
Epoch 2/5
36/36 [=====] - 3s 94ms/step - loss: 0.8500 - categorical_accuracy: 0.5428 - v
Epoch 3/5
36/36 [=====] - 2s 60ms/step - loss: 0.8111 - categorical_accuracy: 0.5715 - v
Epoch 4/5
36/36 [=====] - 2s 62ms/step - loss: 0.7871 - categorical_accuracy: 0.5531 - v
Epoch 5/5
36/36 [=====] - 2s 61ms/step - loss: 0.7705 - categorical_accuracy: 0.5640 - v
267/267 - 2s - loss: 0.7880 - categorical_accuracy: 0.5528 - 2s/epoch - 6ms/step
267/267 [=====] - 2s 6ms/step
```

```
tf.Tensor([[3912  0  340][139  0  23][3310  0  801]], shape=(3, 3), dtype=int32)
```

Lors de l'évaluation des données de test, nous avons obtenu une précision d'environ **55,8 %**. Ce résultat est conforme à nos attentes, car nous avons utilisé une version simplifiée du modèle M5, qui est très performant. Cependant, nous avons dû le simplifier pour l'adapter à la carte que nous utilisons. Ainsi, nous convenons que le modèle est performant tant que la précision est supérieure à **50 %**.

Lors de l'évaluation sur l'ensemble de test, nous avons atteint une précision de **55,2 %**. D'après la matrice de confusion, il est apparent que le modèle est moins performant pour la deuxième classe.

```
[3912  0  340]
[139  0  23]
[3310  0  801]
```

Lors de l'évaluation effectuée sur la carte, nous avons obtenu une précision de **55 %**, ce qui est comparable à celle obtenue sur l'ordinateur.

Testing accuracy: 0.552258

Il est évident que les cris d'oiseaux sont généralement reconnus malgré quelques erreurs lors du lancement ou de l'arrêt de l'audio sur notre téléphone. Pour confirmer les résultats, il serait préférable de faire écouter de véritables oiseaux à notre carte. De plus, il serait bénéfique d'isoler les bruits autres que les cris d'oiseaux pour éviter de fausser les résultats.

Utilisation de la carte

Consommation d'énergie

En utilisant constante, la carte consomme maximum **0,0137 Wh**.

- La carte consomme **0,0002 Wh** à chaque récupération des données toutes les 2,5 secondes, donc **0,0048 Wh** en une heure.

La consommation de la carte est donc de **0,0185 Wh**.

Caractéristiques de la batterie

Pour alimenter la carte pendant toute une journée

- Il faut une batterie de **0,444 Wh**.
 - $Q = P * t = 0,0185 * 24 = 0,444 \text{ Wh}$
- Soit une batterie de **124 mAh** (à 3.6 V).
 - $Q = 1000 * E / V = 1000 * 0,444 / 3,6 = 124 \text{ mAh}$

Mémoire

section	size	addr
.boot	2048	134217728
.text	42936	134219776
.data	168	536870912
.ARM.exidx	8	134262712
.bss	54752	536871080
.stack_dummy	1024	536925832
.comment	240	0
.debug_aranges	4512	0
.debug_info	133580	0
.debug_abbrev	22599	0
.debug_line	37559	0
.debug_frame	14440	0
.debug_str	26453	0
.debug_loc	51442	0
.debug_ranges	6440	0
.ARM.attributes	48	0
Total	398249	

Figure 3: Stockage dans la RAM

La taille dans la RAM est de **43 104 octets**.

- $42936 + 168 = 43\ 104$

```
Sketch uses 45152 bytes (4%) of program storage space. Maximum is 1032192 bytes.
```

Figure 4: Stockage dans le ROM

La taille dans la ROM est de **45 152 octets**.

Latence

```
Label : 2,2176,Latency: 73
Label : 2,867,Latency: 73
Label : 2,2361,Latency: 74
Label : 2,784,Latency: 74
Label : 2,472,Latency: 74
Label : 2,484,Latency: 74
Label : 2,550,Latency: 73
Label : 0,586,Latency: 73
Label : 2,557,Latency: 73
Label : 2,717,Latency: 74
Label : 2,1271,Latency: 74
Label : 0,666,Latency: 74
```

Figure 5: Latence moyenne

La latence moyenne est de **74 ms**.

Précision

Sur une centaine de tests, plus de 50 % des tests sont corrects.

Conclusion

Ce projet nous a permis d'élaborer une méthode de reconnaissance des cris d'oiseaux en utilisant un modèle de réseau de neurones convolutifs. Ce modèle peut être déployé sur des dispositifs à ressources limitées, tels que la carte Nucleo-64 STM32L476, offrant ainsi de nombreuses possibilités d'applications dans les domaines de l'ornithologie et de la préservation des espèces animales.

Améliorations possibles

Pour améliorer le projet, il est possible de :

- Effectuer un prétraitement des fichiers audio pour supprimer les bruits de fond et les silences.
- Enrichir la base de données d'apprentissage avec des enregistrements de diverses qualités.
- Explorer d'autres architectures de réseaux de neurones.
- Optimiser les hyperparamètres du modèle.
- Implémenter des techniques de data augmentation pour renforcer la robustesse du modèle.